

Ж С 53  
А 92

АКАДЕМИЯ НАУК СОЮЗА ССР  
ГОСУДАРСТВЕННЫЙ КОМИТЕТ  
ПО ИСПОЛЬЗОВАНИЮ  
АТОМНОЙ ЭНЕРГИИ СССР

АТОМНАЯ  
ЭНЕРГИЯ

Ежемесячный журнал  
год издания двенадцатый

АТОМИЗДАТ ■ МОСКВА ■ 1968

Том 24 ■ Июнь ■ Вып. 6

РЕДАКЦИОННАЯ КОЛЛЕГИЯ:

А. И. АЛИХАНОВ, А. А. БОЧВАР, А. П. ВИНОГРАДОВ, Н. А. ВЛАСОВ (зам. главного редактора),  
И. Н. ГОЛОВИН, Н. А. ДОЛЖЕЖАЛЬ, А. П. ЗЕФИРОВ, В. Ф. КАЛИНИН, Н. А. КОЛОКОЛЬЦОВ  
(зам. главного редактора), А. К. КРАСИН, А. И. ЛЕЙПУНСКИЙ, В. В. МАТВЕЕВ, М. Г. МЕШЕ-  
РИКОВ, М. Д. МИЛЛИОНИЦЫКОВ (главный редактор), Н. Н. ПАЛЕЙ, Д. Л. СИМОНЕНКО,  
В. И. СМИРНОВ, В. С. ФУРСОВ, В. Б. ШЕВЧЕНКО.

СОДЕРЖАНИЕ

СТАТЬИ

- Н. В. Губкин, Д. Т. Десятников, И. К. Руднева. Преимущество применения метода подземного выщелачивания урана в условиях обводненных пластовых месторождений . . . . . 511  
 А. И. Зубов, Г. Н. Котельников. Жильные твердые битумы в урановом месторождении . . . . . 514  
 М. Х. Ибрагимов, А. В. Жуков. Метод расчета неравномерностей температуры в пучках тзвалов, охлаждаемых жидкими металлами . . . . . 520  
 М. Н. Ивановский, Ю. В. Милованов, В. И. Субботин. О характере зависимости коэффициента теплопередачи при капельной конденсации от температурного напора . . . . . 523  
 И. Т. Мишев, М. Г. Христова. Исследование концентрации радиоактивного газа  $\text{Ar}^{41}$  в воздухе, выбрасываемом через трубу реактора ИРТ-1000 . . . . . 530  
 И. А. Кондуров, А. И. Егоров, Д. М. Каминкер, Е. М. Коротких, А. М. Никитин. Измерение сечений захвата нейтронов радиоактивными ядрами  $\text{Co}^{58m}$ ,  $\text{Cu}^{64}$  и  $\text{Sc}^{46}$  . . . . . 533  
 В. И. Белоглазов, Ю. М. Базаев, А. К. Вальтер, В. А. Вишняков, Ф. С. Горюховский, И. А. Гришаев, Ю. И. Добролюбов, Е. В. Еременко, А. И. Зыков, В. М. Кобесский, В. В. Кондратенко, Г. Ф. Кузнецова, Н. И. Мочешников, В. Б. Муфель, В. И. Мицкота, В. В. Петренко. Линейный ускоритель электронов на 2 ГэВ Физико-технического института АН УССР . . . . . 540  
 В. Б. Красовицкий, В. И. Курилко, М. А. Стрекемечный. Нелинейная теория взаимодействия модулированного пучка с плазмой . . . . . 545  
 Ю. В. Слюсарев, Э. И. Юрченко. Движение пролетных частиц в системе с минимумом  $B$  . . . . . 549  
 В. В. Кондратьев, Г. В. Синютин. Исследование работы цезиевого термоэмиссионного преобразователя с вольфрамовым катодом . . . . . 553  
 В. С. Кессельман. Аналитические соотношения для расчета глубины проникновения ионов в вещество . . . . . 557

АННОТАЦИИ ДЕПОНИРОВАННЫХ СТАТЕЙ

- М. П. Леончук. Расчет переходных режимов парогенератора на ЦВМ . . . . . 564  
 С. А. Коаловский, В. С. Кызыров, А. А. Сметанин. Определение потока быстрых нейтронов детектором  $\text{ZnS}(\text{Ag}) + \text{плексиглас}$  и детектором Бассона . . . . . 564  
 В. А. Бриксман, В. П. Савина. Исследование объемных полей поглощенных доз нейтронных излучений в полистиленовом образце . . . . . 565  
 В. А. Бриксман, В. П. Савина. Экспериментальное исследование объемных полей поглощенных доз реакторного  $\gamma$ -излучения в полистиленовом образце . . . . . 566  
 В. П. Громов, Ю. Ф. Зубов, Д. В. Позднеев. Рассеяние быстрых нейтронов железными и алюминиевыми барьерами . . . . . 567

ПИСЬМА В РЕДАКЦИЮ

- Л. И. Москвин, В. И. Портнягин. Влияние солей Na, K, Mg и Ca на экстракцию Ce и Y D2ЭГФИ из кислых растворов . . . . . 568  
 М. К. Ют. Коррозия сталей и никелевых сплавов в расплавах натрийборосиликатных стекол при температурах 1000 и 1200° С . . . . . 570  
 Г. Н. Маслов, Ф. Насыров, Н. Ф. Пашкин. Гаммаизлучение при взаимодействии нейтронов с энергией 14 МэВ с ядрами атомов B, C, N, O, F, Al . . . . . 573  
 Г. И. Михайлов, Л. П. Старчук. Анализ лития по выходу реакции  $\text{Li}^7(a, a')\text{Li}^{7*}$  . . . . . 575  
 В. А. Толстиков, В. П. Королева, В. Е. Колесов, А. Г. Довбенко, Ю. Н. Шубин. Радиационный захват быстрых нейтронов ядрами  $\text{Sn}^{112}$ ,  $\text{Sn}^{114}$  и  $\text{Sb}^{111}$ ,  $\text{Sb}^{113}$  . . . . . 576  
 Р. В. Джагацянин, Ю. Г. Ляскин, Л. И. Хейфец, В. И. Косоротов, В. И. Мукосей. Расчет коэффициента полезного действия шарового источника  $\beta$ -излучения . . . . . 580  
 О. В. Федоров. Слюдово-молибдатный тип зоны окисления . . . . . 582



1 235609  
225473/m

обусловленными, по-видимому, излучением свинца и материала кристаллов под действием нейтронов.

Результаты исследования  $\gamma$ -излучения N, C, O, Al, возникающего под действием нейтронов с энергией 14 MeV, приведены в работах [1–10]. В большинстве случаев сечения выходов  $\gamma$ -квантов настоящих опытов мало отличаются от полученных ранее. Подобные данные для B и F авторам не известны, поэтому сравнение результатов не проводилось.

Поступило в Редакцию 5/IX 1967 г.  
В окончательной редакции 23/XI 1967 г.

#### ЛИТЕРАТУРА

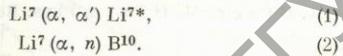
1. J. Anderson et al. Phys. Rev., 111, 572 (1958).
2. V. Scherriger, R. Theus. Phys. Rev., 91, 1476 (1953).
3. В. В. Недедов и др. В сб. «Нейтронная физика». М., Госатомиздат, 1961.
4. В. М. Бездотосный и др. «Ядерная физика», 3, 861 (1966).
5. L. Tompson, J. Risser. Phys. Rev., 94, 941 (1954).
6. W. Deuchars, D. Dandy. Proc. Phys. Soc., 75, 855 (1960).
7. A. Hofmann. Z. Phys., 173, 402 (1963).
8. В. Н. Бочкарев, В. В. Недедов. «Ядерная физика», 1, 803 (1965).
9. W. McDonald et al. Nucl. Phys., 75, 353 (1966).
10. F. Engesser et al. J. Nucl. Energy, 21, 487 (1967).

## Анализ лития по выходу реакции $\text{Li}^7(\alpha, \alpha')\text{Li}^{7*}$

Г. И. МИХАЙЛОВ, Л. П. СТАРЧИК

УДК 543.53

Для определения состава некоторых веществ применяются ядерные реакции  $(\alpha, n\gamma)$  и  $(\alpha, p\gamma)$  [1, 2], которые не могут быть использованы для определения лития. Анализ лития проводится при помощи реакции  $(n, \alpha)$ , а также по поглощению потока нейтронов. Недостатки этих методов — самозакранирование и влияние на анализ других элементов, присутствующих в пробе и обладающих большим сечением захвата нейтронов. Селективное определение содержания лития может быть проведено по выходу реакции  $\text{Li}^7(\alpha, \alpha')\text{Li}^{7*}$ , величина которого зависит от количества ядер изотопа  $\text{Li}^7$  в исследуемом продукте. Этот метод можно применять и при изотопном анализе состава литиевых проб. Из различных реакций, которые могут проходить на ядрах  $\text{Li}^6$  и  $\text{Li}^7$  под действием  $\alpha$ -частиц с энергией приблизительно 5 MeV, наибольшие сечения наблюдаются для реакций:



По данным работы [3], сечение реакции (1) равно приблизительно 275 мбарн при энергии  $\alpha$ -частиц 3,06 MeV. Выход указанной реакции имеет несколько резонансов, причем сечения для резонансных энергий  $\alpha$ -частиц составляют не менее 100 мбарн. Сечение реакции (2) не превосходит 4 мбарн/стер (для  $\theta_{\text{лаб}} = 0^\circ$ ) при  $E_\alpha \leq 5$  MeV. Остальные возможные реакции на  $\text{Li}^6$  и  $\text{Li}^7$  имеют значительно меньшие сечения. При разрядке возбужденного состояния  $\text{Li}^{7*}$  испускаются  $\gamma$ -кванты с  $E_\gamma = 478$  кэВ. Линия 478 кэВ четко выявляется при исследовании  $\gamma$ -излучения нейтронных источников Рo — Li [4, 5].

В настоящей работе в качестве источника  $\alpha$ -частиц использовали Ри<sup>238</sup> на подложке из платины размером  $2,0 \times 2,0$  см, активность источника составляла около 10 мкюри. Регистрация  $\gamma$ -излучения проводилась спектрометром с кристаллом NaJ(Tl) диаметром 4,0 см и высотой 4,0 см. Спектрометр калибровался по линиям 60 кэВ ( $\text{Au}^{198}$ ), 662 кэВ ( $\text{Cs}^{137}$ ), 1,17 и 1,33 MeV ( $\text{Co}^{60}$ ). Энергетическое разрешение для пика  $\text{Cs}^{137}$  составляло 10%.

Аналитируемую пробу засыпали в кассету диаметром 25 см. Поверхностная плотность проб должна

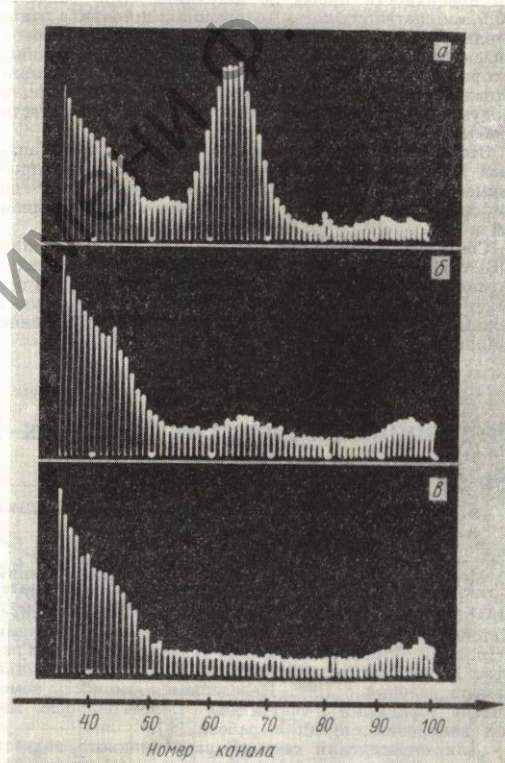
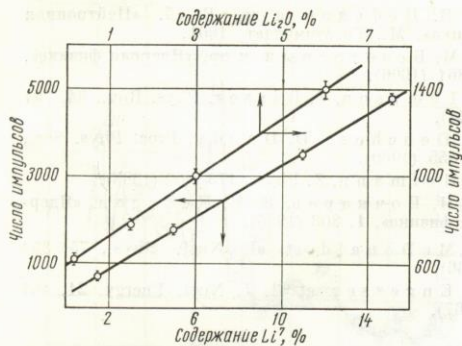


Рис. 1. Амплитудный спектр  $\gamma$ -излучения:  
α — мишень  $\text{LiCl}$  естественного состава; β — мишень  $\text{LiCl}$ , обогащенная по  $\text{Li}^6$ ; γ — мишень  $\text{SiO}_2$ .

Рис. 2. Градуировочный график для определения содержания Li<sub>2</sub>O и изотопа Li<sup>7</sup>.

быть не меньше полного пробега  $\alpha$ -частиц в данном веществе. Расстояние от кристалла до пробы и от верхней поверхности пробы до источника было равно 5 и 0,5 мм соответственно. Положение  $\alpha$ -источника относительно пробы и всей системы источник — пробы относительно кристалла точно фиксировалось. Пробы, которые использовались для определения лития, приготавливались последовательным разбавлением кварцем сподумена с содержанием окиси лития 6%. Крупность проб 250—300 меш.

Этот метод был опробован и для изотопного анализа лития. В этом случае для приготовления проб применялся хлористый литий, обогащенный Li<sup>6</sup> до 90%, и хлористый литий с естественным соотношением Li<sup>6</sup> и Li<sup>7</sup>.

Спектры  $\gamma$ -излучения, полученные при облучении LiCl естественного состава, обогащенного Li<sup>6</sup> и кварца, показаны на рис. 1. Спектры исследовались при помощи анализатора АИ-100. Во всех трех случаях режимы измерения и фотографирования совершенно аналогичны.

## Радиационный захват быстрых нейтронов ядрами Sn<sup>122</sup>, Sn<sup>124</sup> и Sb<sup>121</sup>, Sb<sup>123</sup>

В. А. ТОЛСТИКОВ, В. Н. КОРОЛЕВА, В. Е. КОЛЕСОВ,  
А. Г. ДОВБЕНКО, Ю. Н. ШУБИН

УДК 539.125.5

Методом активации измерены сечения реакций Sn<sup>122</sup>(n,  $\gamma$ )Sn<sup>123g</sup>, Sn<sup>124</sup>(n,  $\gamma$ )Sn<sup>125g</sup>, Sb<sup>121</sup>(n,  $\gamma$ )Sb<sup>122</sup>, Sb<sup>123</sup>(n,  $\gamma$ )Sb<sup>124</sup> для нейтронов с энергией 0,3—2,7 Мэв. Источником быстрых нейтронов служила реакция T(p, n)He<sup>3</sup>, осуществлявшаяся на ускорителе Van de Graaf'a. Монитором потока быстрых нейтронов служила камера деления с U<sup>235</sup>. Наведенная активность измерялась торцовыми  $\beta$ -счетчиками. Более подробно метод измерений описан в работе [1].

Для определения сечений радиационного захвата быстрых нейтронов были использованы следующие сечения захвата тепловых нейтронов: Sn<sup>122</sup>(T<sub>1/2</sub> = 40 мин) 0,180 ± 0,040 барн [2]; Sn<sup>124</sup>(T<sub>1/2</sub> = 9,4 мин) 0,140 ± 0,03 барн [2]; Sb<sup>121</sup>(T<sub>1/2</sub> =

Пик в районе 65-го канала соответствует энергии  $\gamma$ -квантов 478 кэв. В районе 53-го канала имеется небольшой пик (390 кэв), соответствующий разрядке возбужденного состояния B<sup>10\*</sup>, образующегося в результате реакции Li<sup>7</sup>(z, n)B<sup>10</sup>. Для того чтобы оценить вклад, который вносят в фотопик 478 кэв  $\gamma$ -кванты, излучаемые при захвате или неупругом рассеянии в кристалле NaJ(Tl) нейтронов из реакции (2) с энергией E<sub>n,ср</sub> = 0,4 Мэв, после пробы перед кристаллом помещались свинцовые пластинки толщиной до 2 см. Пластиники почти прозрачны для нейтронов, но выводят из пучка  $\gamma$ -кванты. Оказалось, что этот вклад незначителен.

Градуировочный график для определения содержания Li<sub>2</sub>O показан на рис. 2. На этом же рисунке приведен график для определения изотопа Li<sup>7</sup>.

При анализе содержания указанных продуктов получены следующие результаты:

1) относительная погрешность: для Li<sub>2</sub>O < 15% при концентрации Li<sub>2</sub>O < 1%; для Li<sup>7</sup> 8% при концентрации Li<sup>7</sup> порядка 1%;

2) порог чувствительности: для Li<sub>2</sub>O 0,11%; для Li<sup>7</sup> 0,06%.

Эти значения погрешности и чувствительности получены при анализе, который проводился в течение 100 сек. Увеличивая время анализа и активность источника, можно получить более высокую точность и лучшую чувствительность.

Поступило в Редакцию 24/XI 1967 г.

## ЛИТЕРАТУРА

- И. Н. Плакин, Л. П. Старчик. Ядерно-физические методы контроля вещественного состава. М., «Наука», 1966.
- И. Н. Плакин, В. Н. Смирнов, Л. П. Старчик. «Атомная энергия», 9, 361 (1960).
- Н. Вихсель, Т. Воннег. Phys. Rev., 108, 1025 (1957).
- Ю. А. Немилов, А. Н. Писаревский. «Тр. Радиевого ин-та», 9, 61 (1959).
- Р. Грин, М. Негтц. Phys. Rev., 98, 599 (1955).

Р  
из  
ра  
хн  
тр  
в  
ра  
та  
д  
●  
□  
△  
◊

Р  
аз  
ме  
ни  
ов  
та  
не  
из  
Si  
не  
то  
тв  
д  
р  
на  
Δ  
[6]

= 2,8 суток) 6,5 ± 0,8 барн [2]; Sb<sup>123</sup>(T<sub>1/2</sub> = 60,2 суток) 2,5 ± 0,5 барн [2].

Сечение деления U<sup>235</sup> тепловыми нейтронами было принято равным 577,1 ± 0,8 барн [3]. Значения сечений деления U<sup>235</sup> быстрыми нейтронами были взяты из работы [4].

Результаты измерений приведены на рис. 1—4. Указанные на рисунках ошибки состоят из ошибок эксперимента и погрешностей, с которыми известны опорные сечения. Вертикальными стрелками показаны положения возбужденных уровней ядер-мишеней.

Данных по сечениям реакций Sb<sup>123</sup>(n,  $\gamma$ )Sb<sup>124</sup> и Sn<sup>124</sup>(n,  $\gamma$ )Sn<sup>125g</sup> в диапазоне энергий нейтронов 0,2—3 Мэв в литературе не имеется. Сечение, получен-

РЕПОЗИТОРИЙ  
БИБЛИОТЕКИ  
УНИВЕРСИТЕТА